

# Анализ и компенсация геометрических искажений, возникающих при наблюдении объектов под водой

Иван Коноваленко

ИППИ РАН, МФТИ

*alatkon@yandex.ru*

Школа Поляка 2017

- 1 Практические применения
- 2 Используемая математическая модель
- 3 Задача об изображении точечного источника
- 4 Следствие 1: Множество изображений точечного источника
- 5 Следствие 2: Визуальное искажение пространства
- 6 Следствие 3: Подводная дисторсия камеры
- 7 Экспериментальная проверка

- Количественное исследование фузионных способностей зрительной системы человека.
- Конструктивное компенсирование подводных искажений в масках для подводного плавания, что решает известную проблему недооценки ныряльщиком расстояний до объектов под водой.
- Процедура «сухой» калибровки камеры для применения алгоритмов компьютерного зрения при съёмке под водой, позволяющая избежать неудобств калибровки непосредственно под водой.

- Введем в пространстве декартову систему координат с осями  $X, Y, Z$ .
- Границу сред будем считать плоской и зададим ее уравнением  $Z = 0$ .
- Показатель преломления среды  $Z < 0$  (воздух) обозначим  $n_1$ .
- Показатель преломления среды  $Z > 0$  (вода) обозначим  $n_2$ .
- Рассматривать будем случай  $n_2 > n_1$  и обозначим  $n = \frac{n_2}{n_1}$ .
- Наблюдателя/камеру будем считать находящимися в среде  $n_1$ , сцену — в среде  $n_2$ .
- Будем считать, что свет распространяется согласно законам геометрической оптики.
- В качестве закона преломления лучей выберем закон Снелла без различия по частотам спектра излучения.

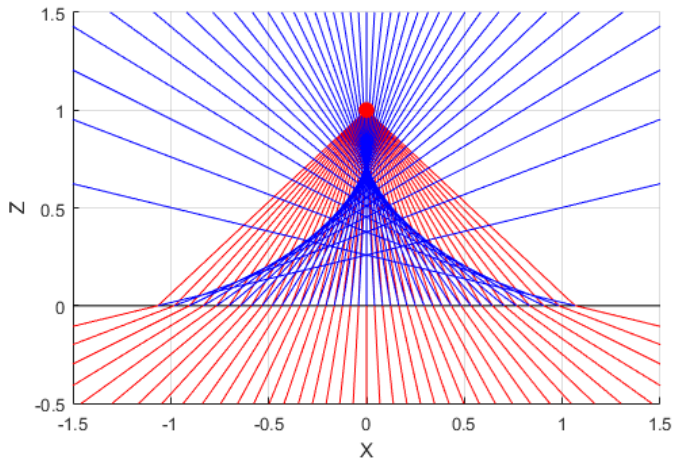
## Закон Снелла

Обозначим угол падения как  $\alpha$ , угол преломления — как  $\beta$ , тогда:

$$\frac{\sin \beta}{\sin \alpha} = \frac{n_2}{n_1} = n. \quad (1)$$

# Задача об изображении точечного источника

## Ход лучей



# Задача об изображении точечного источника

Сцену будем считать состоящей из точечного источника света  $A$ :

$$A = \begin{vmatrix} x \\ y \\ z > 0 \end{vmatrix}.$$

Будем считать, что наблюдатель расположен сколь угодно близко к плоскости раздела сред:

$$A_1 = \begin{vmatrix} x_1 \\ y_1 \\ 0 \end{vmatrix}.$$

Задача состоит в том, чтобы найти координаты точки:

$$A' = \begin{vmatrix} x' \\ y' \\ z' \end{vmatrix},$$

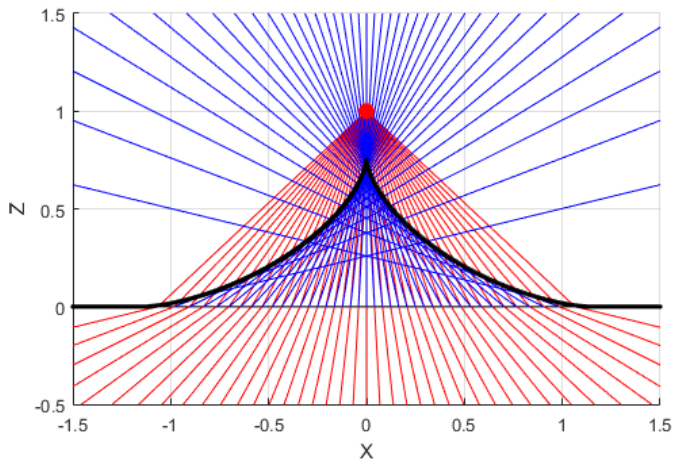
в которой формируется изображения источника.

## Решение

$$A' = \left| \begin{array}{l} x' = (x - x_1) \left[ 1 - (n^2 - 1) \frac{(x-x_1)^2 + (y-y_1)^2}{z^2} \right] + x_1 \\ y' = (y - y_1) \left[ 1 - (n^2 - 1) \frac{(x-x_1)^2 + (y-y_1)^2}{z^2} \right] + y_1 \\ z' = \frac{z}{n} \left[ 1 - (n^2 - 1) \frac{(x-x_1)^2 + (y-y_1)^2}{z^2} \right]^{\frac{3}{2}} \end{array} \right| \quad (2)$$



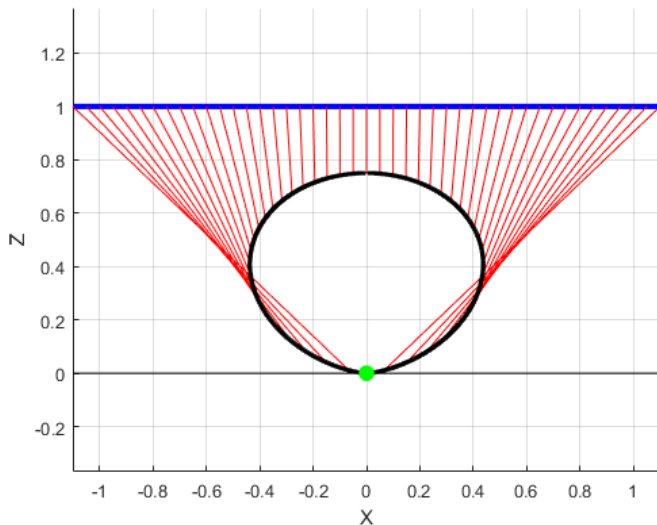
# Следствие 1: Множество изображений точечного источника



# Следствие 1: Множество изображений точечного источника

$$Z = \frac{z}{n} \left( 1 - \sqrt[3]{(n^2 - 1) \frac{(X - x)^2 + (Y - y)^2}{z^2}} \right)^{2/3}.$$

## Следствие 2: Визуальное искажение пространства



## Следствие 2: Визуальное искажение пространства

$$\frac{n^2 - 1}{n^2} \frac{(X - x_1)^2 + (Y - y_1)^2}{Z^2} = \left( \frac{1}{n} \frac{z}{Z} \right)^{\frac{2}{3}} - 1.$$

## Следствие 3: Подводная дисторсия камеры

### Камера обскура

Изображение точки  $A$  в камере-обскуре под водой:

$$A'_o = \begin{vmatrix} x'_o \\ y'_o \\ z'_o \end{vmatrix} = \frac{1}{z'} \begin{vmatrix} x' \\ y' \\ z' \end{vmatrix} = \begin{vmatrix} \frac{x'}{z'} \\ \frac{y'}{z'} \\ 1 \end{vmatrix}. \quad (3)$$

Изображение точки  $A$  в камере-обскуре на воздухе:

$$A_o = \begin{vmatrix} x_o \\ y_o \\ z_o \end{vmatrix} = \frac{1}{z} \begin{vmatrix} x \\ y \\ z \end{vmatrix} = \begin{vmatrix} \frac{x}{z} \\ \frac{y}{z} \\ 1 \end{vmatrix}. \quad (4)$$

### Следствие 3: Подводная дисторсия камеры

Обозначим:

$$r' = \sqrt{x_o'^2 + y_o'^2}, \quad r = \sqrt{x_o^2 + y_o^2}, \quad (5)$$

Тогда можно получить, что:

$$r'(r) = \frac{n}{\sqrt{\frac{1}{r^2} - (n^2 - 1)}}, \quad (6)$$

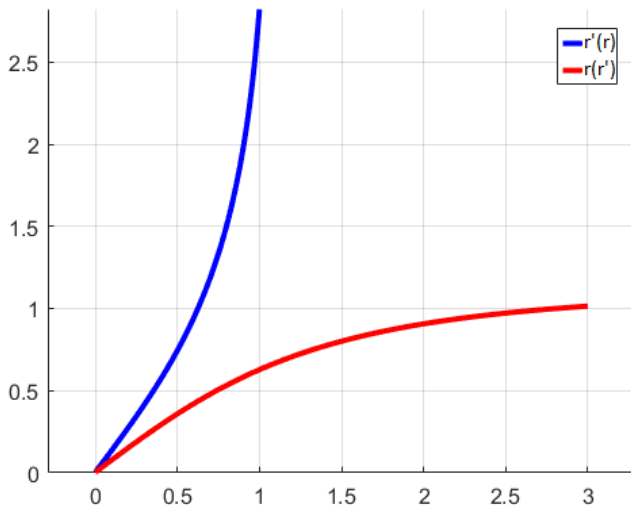
$$r(r') = \frac{1}{\sqrt{\left(\frac{n}{r'}\right)^2 + (n^2 - 1)}}. \quad (7)$$

Уравнения (6), (7) имеют тригонометрическое представление:

$$r'(r) = \tan \sin^{-1} n \sin \tan^{-1}(r), \quad (8)$$

$$r(r') = \tan \sin^{-1} n^{-1} \sin \tan^{-1}(r'). \quad (9)$$

### Следствие 3: Подводная дисторсия камеры



## Следствие 3: Подводная дисторсия камеры

### Матрица камеры

Координаты пикселей с точностью до округления до целого получаются с помощью матрицы  $K$  следующим образом:

$$p = \begin{pmatrix} p_x \\ p_y \\ 1 \end{pmatrix} = KA_o, \quad p' = \begin{pmatrix} p'_x \\ p'_y \\ 1 \end{pmatrix} = KA'_o.$$

Матрица  $K$  зависит только от камеры и режима ее работы, находится путем стандартной калибровки камеры в воздушной среде и всегда обратима, поэтому верно следующее:

$$A_o = K^{-1}p, \quad A'_o = K^{-1}p'.$$



## Следствие 3: Подводная дисторсия камеры

### Пиксельное преобразования координат

Введем матрицу  $\Gamma$ , такую что:  $\begin{vmatrix} a \\ b \\ 0 \end{vmatrix} = \Gamma \begin{vmatrix} a \\ b \\ c \end{vmatrix}$ :  $\Gamma = \begin{vmatrix} 1 & 0 & 0 \\ 0 & 1 & 0 \end{vmatrix}$ .

Тогда:  $\begin{vmatrix} a \\ b \\ 0 \end{vmatrix} = \Gamma^T \begin{vmatrix} a \\ b \end{vmatrix}$ .

Также введем вектор  $\gamma = \begin{vmatrix} 0 \\ 0 \\ 1 \end{vmatrix}$ .

### Пиксельное преобразования координат

Теперь можно вывести преобразования между координатами пикселей единым уравнением:

$$p'(p) = K \left( \gamma + \frac{n\Gamma^T \Gamma K^{-1} p}{\sqrt{1 - (n^2 - 1) \|\Gamma K^{-1} p\|_2^2}} \right), \quad (10)$$

$$p(p') = K \left( \gamma + \frac{\Gamma^T \Gamma K^{-1} p'}{\sqrt{n^2 + (n^2 - 1) \|\Gamma K^{-1} p'\|_2^2}} \right). \quad (11)$$

# Экспериментальная проверка



Рис.: Фотография физической прямой линейки откалиброванной в воздухе камерой, сделанная в воздухе.

# Экспериментальная проверка

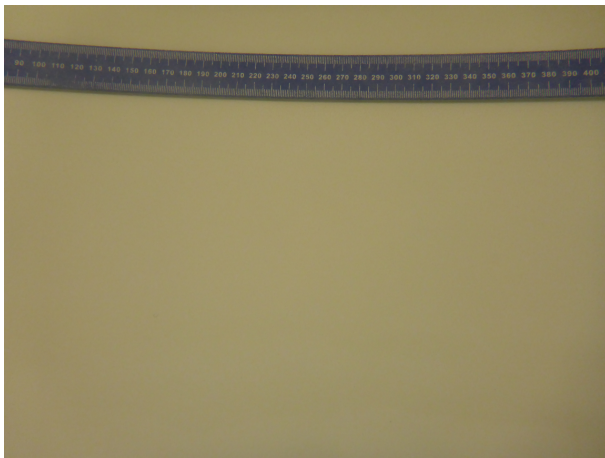


Рис.: Фотография физически прямой линейки откалиброванной в воздухе камерой, сделанная под водой.

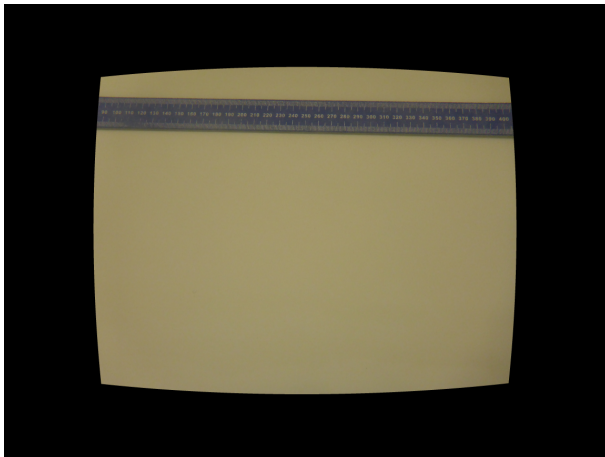


Рис.: Преобразования координат (10)/(11) позволили имитировать фотографию, сделанную на воздухе, на основе подводной фотографии.

Спасибо за внимание!